

ŠPECIÁCIA A STANOVENIE ORTUTI METÓDAMI VYSOKOÚČINNEJ KVAPALINOVEJ CHROMATOGRAFIE

RADOSLAV HALKO a MILAN HUTTA

Katedra analytickej chémie, Prírodovedecká fakulta, Univerzita Komenského, Mlynská dolina CH–2, 842 15 Bratislava, Slovenská republika, e-mail: halko@fns.uniba.sk, hutta@fns.uniba.sk

Došlo dne 14.VI.1999

Kľúčové slová: HPLC, ortuť, špeciácia

Obsah

1. Úvod
2. Stanovenie ortuti a jej zlúčenín metódami HPLC
 - 2.1. HPLC na reverzných fázach
 - 2.2. Chromatografická separácia iónových párov
 - 2.3. Ionexová chromatografia
 - 2.4. Micelárna kvapalinová chromatografia
3. Záver

1. Úvod

Reálne ohrozenie veľkých skupín populácie pri stále širšom používaní ťažkých kovov v priemysle a v poľnohospodárstve obrátilo pozornosť na štúdium výskytu ťažkých kovov v životnom prostredí. Medzi tieto kovy patrí aj ortuť. Do životného prostredia môže ortuť vstupovať vo forme pár kovovej ortuti, po transformácii prchavých organických zlúčenín ortuti alebo dobre rozpustných anorganických zlúčenín ortuti. Tvorba alkyl-zlúčenín z elementárnej ortuti a anorganických zlúčenín ortuti vo vodách morí a jazier je základným článkom celého reťazca premien ortuti v prírode.

V minulosti environmentalisti a toxikológovia často nerozlišovali rozdielne chemické formy prvkov v látkach, hoci majú rozdielne environmentálne správanie sa. Tiež je veľmi rozdielny ich metabolizmus, účinky na živé organizmy a toxicita. Vzhľadom na uvedené skutočnosti je v súčasnosti nevyhnutné a stále aktuálne poznať okrem celkového obsahu ortuti vo vzorke aj jednotlivé formy látok v ktorých sa ortuť nachádza. Preto sa do analytickej praxe zaviedol pojem špeciácia. Špeciácia nie je presne definovaná a autori si ju vysvetľujú rôzne. Ure^{1,2} definuje špeciáciu ako (a) proces identifikácie a kvantifikácie rozdielnych, definovaných špecií, foriem a fáz prítomných v látke; resp. (b) popísanie množstva a druhov prítomných látok – špecií, foriem alebo fáz. Špecie, formy a fázy sú definované (i) funkčne, (ii) operačne, alebo (iii) ako jednotlivé chemické individuá. Florence³ špeciáciu analyzuje ako stanovenie koncentrácie jednotlivých fyzikálno-chemických foriem prvku, ktorých súčet tvorí celkovú koncentráciu prvku vo vzorke. Z analytickeho hľadiska sú

environmentálne zaujímavé zlúčeniny ortuti a elementárna ortuť prevažne definované nasledovne⁴: Hg⁰; Hg₂²⁺; Hg²⁺; CH₃-Hg-X; CH₃-Hg-CH₃ a iné.

Na špeciáciu týchto látok sa používa viacero analytických metód. Jednou z týchto metód je vysokoúčinná kvapalinová chromatografia (HPLC). Pre nízke koncentračné úrovne obsahu ortuti vo vzorkách životného prostredia (μg.l⁻¹) je potrebná jej vhodná izolácia pred separáciou a spojenie chromatografickej metódy s citlivými detekčnými systémami.

2. Stanovenie ortuti a jej zlúčenín metódou HPLC

Podľa spôsobu separácie môžeme HPLC metódy rozdeliť do týchto skupín:

- HPLC na reverzných fázach,
- chromatografická separácia iónových párov,
- ionexová chromatografia,
- micelárna kvapalinová chromatografia.

Krátke charakteristiky týchto metód sú uvedené v tabuľke I.

Pre stanovenie ortuti a jej zlúčenín v životnom prostredí je obvyčajne potrebná jej izolácia. Ortuť a jej organické formy sa silne viažu s tio-, amino- a karboxy-skupinami. Tieto komplexotvorné skupiny sa často nachádzajú v prírodných matriciach (sediment, biologické tkanivá, krv, moč a pod.). Na rozbitie väzieb, ktorými sa ortuť viaže v matriciach, boli úspešne vyskúšané halogénvodíkové kyseliny. Jeden z prvých štandardných postupov na izoláciu CH₃Hg⁺ z prírodných matric publikoval v roku 1969 vo svojich prácach Westö^{5,6}. S rôznymi obmenami^{4,7-14} sa tento postup úspešne používa už 30 rokov na stanovenie CH₃Hg⁺ (aj iných organických zlúčenín ortuti) v životnom prostredí. Spoločnou črtou všetkých postupov odvodených od postupu Westö je využívanie halogénvodíkových kyselín HX (HCl, HBr, HI), extrakcia CH₃HgX kovalentnej zlúčeniny do nepolárneho rozpúšťadla (benzén, toulén a iné) a reextrakcia častice CH₃Hg⁺ do vodných roztokov anorganických a organických síru obsahujúcich zlúčenín. Hlavné modifikácie postupu podľa Westö v kombinácii s HPLC analýzou sa sústreďujú na:

- vynechanie kroku reextrakcie do benzénu,
- nahrádzanie klasickej extrakcie kvapalina–kvapalina inými alternatívami extrakcie
- variácie v zložení roztoku halogénvodíkových kyselín,
- variácie v zložení vodnej reextrakčnej fázy.

2.1. HPLC na reverzných fázach

Stanovenie zlúčenín ortuti kvapalinovou chromatografiou s normálnym usporiadaním fáz¹⁵, bolo postupne vytlačené populárnejšou vysokoúčinnou kvapalinovou chromatografiou na reverzných fázach (RP HPLC). Ako mobilné fázy sa bežne používajú zmesi polárnych hydroorganických rozpúšťadiel s vodou (metanol–voda resp. acetonitril–voda)^{16,70}. Problémy pri separácii iónových a nízkomolekulových nepolárnych zlúčenín (napr. CH₃HgCl), ktoré slabo interagujú so stacionárnou

Tabuľka I
 Špeciácia ortuti HPLC metódami

Stacionárna fáza	Mobilná fáza	Stanovované formy	Matrica a úprava vzorky	Detekcia a medza stanovenia	Lit.
<i>HPLC na reverzných fázach</i>					
RP Altex Spherisorb ODS (250×4,6 mm, 5 μm)	CH ₃ OH-H ₂ O (40:60), 0,01 % 2-sulfanyletanol, 0,06 mol.l ⁻¹ octan amónny (pH 5,5)	C ₂ H ₅ Hg ⁺ , CH ₃ Hg ⁺ , C ₆ H ₅ Hg ⁺	morské ryby, extrakcia	DPV 40 pg	19
RP C18 LiChrosorb ODS (250×4 mm, 5 μm)	CH ₃ OH-H ₂ O (60:40), 0,01 % 2-sulfanyletanol, pH 5,5 (octan amónny)	Hg ²⁺ , C ₂ H ₅ Hg ⁺ , CH ₃ Hg ⁺ , C ₆ H ₅ Hg ⁺	–	amperometrická (Ag-AgCl, elektróda) 0,8–1,9 μg.l ⁻¹	21
RP Zorbax ODS (250×4,6 mm, 5 μm)	CH ₃ OH-0,06 mol.l ⁻¹ octan amónny (3:2), 0,01 % 2-sulfanyletanol (pH 5,7)	C ₂ H ₅ Hg ⁺ , CH ₃ Hg ⁺ , C ₆ H ₅ Hg ⁺	ryby, extrakcia	AAS resp. DVP 0,6 ng	8 9
RP C8 Lichrosorb (10 μm)	CH ₃ OH-H ₂ O (6:94), 25 mg.l ⁻¹ 2-sulfanyletanol	Hg ²⁺ , C ₂ H ₅ Hg ⁺ , CH ₃ Hg ⁺ , C ₆ H ₅ Hg ⁺ , n-C ₃ H ₇ Hg ⁺	–	GF AAS (monitorovanie UV 254 nm)	18
RP C18 Waters Resolve (150×3,9 mm, 5 μm)	gradient A = 0,05 % 2-sulfanyletanol, 0,06 mol.l ⁻¹ octan amónny (pH 5,7), B = A + 75 % ACN, od B = 20 % do B = 100 %	C ₂ H ₅ Hg ⁺ , CH ₃ Hg ⁺ , Hg ²⁺ , (CH ₃) ₂ Hg	–	ICP-AES 32–62 μg.l ⁻¹	25
RP-6 Prepacked (250×4,6 mm, 5 μm)	CH ₃ OH-H ₂ O (60:40), 0,01 % 2-sulfanyletanol	Hg ²⁺ , C ₂ H ₅ Hg ⁺ , CH ₃ Hg ⁺ , C ₆ H ₅ Hg ⁺	–	MIP 75 ng	20
RP C18 Waters PicoTag	3 % ACN, 0,05 % 2-sulfanyletanol, 0,06 mol.l ⁻¹ octan amónny (pH 5,3–6,8)	Hg ²⁺ , C ₂ H ₅ Hg ⁺ , CH ₃ Hg ⁺ , thimerosal	ryby, čistiaci roztok kontaktných šošoviek, voda	ICP-MS 0,6–1,2 ng.ml ⁻¹	12
RP C18 Vydac 201 TP (250×4,6 mm, 10 μm)	3 % CH ₃ OH, 1,5 % ACN, 0,05 % 2-sulfanyletanol, 0,06 mol.l ⁻¹ octan amónny (pH 6,8)	Hg ²⁺ , C ₂ H ₅ Hg ⁺ , CH ₃ Hg ⁺	ryby, voda, čistiaci roztok kontaktných šošoviek	ICP-MS 70–160 pg	13
RP C18 Spherisorb ODS 2 (150×3,2 mm, 5 μm)	1 % ACN, 0,005 % 2-sulfanyletanol, 0,06 mol.l ⁻¹ octan amónny	Hg ²⁺ , C ₂ H ₅ Hg ⁺ , CH ₃ Hg ⁺	morská voda off-line prekoncentrácia (ditiokarbamátom)	ICP-MS 16–17 ng.l ⁻¹	27
RP C18 Shim-pack CLC-ODS (150×6 mm)	CH ₃ OH-octan amónny (40:60), 0,02 % 2-sulfanyletanol (pH 5)	C ₂ H ₅ Hg ⁺ , CH ₃ Hg ⁺ , C ₆ H ₅ Hg ⁺	prirodná voda, biologické vzorky	AFS 5–7 ng	23
RP C18 Chromsper (200×3 mm, 3 μm)	gradient A = 30 % CH ₃ OH, 0,05 mol.l ⁻¹ octan amónny (pH 5), 0,1 mmol.l ⁻¹ 2-sulfanyletanol, B = 50 % CH ₃ OH, 0,1 mmol.l ⁻¹ 2-sulfanyletanol, 0,02 mmol.l ⁻¹ octan amónny (pH 5), od A = 100 % 5 min., lineárne zmena na A = 50 % a B = 50 % v rozsahu 1 min.	CH ₃ Hg ⁺ , CH ₃ OC ₂ H ₄ Hg ⁺ , COOHC ₆ H ₄ Hg ⁺ , C ₂ H ₅ Hg ⁺ , C ₆ H ₅ Hg ⁺ , C ₂ H ₅ OC ₂ H ₄ Hg ⁺ , OHCH ₃ NO ₂ C ₆ H ₂ Hg ⁺ , CH ₃ C ₆ H ₄ Hg ⁺ , Hg ²⁺ , mersalylic acid	pôda a sedimenty	UV 230 nm 7–95,1 mg.l ⁻¹ AFS	22 10 11 24
RP C18 μBondapak (300×6,4 mm resp. 300×3,9 mm, 10 μm)	65–85 % CH ₃ OH-H ₂ O resp. 55–85 % ACN-H ₂ O, 0,1 mmol.l ⁻¹ EDTA	Hg ²⁺ , C ₆ H ₅ Hg ⁺	–	UV 258 nm –	45
	CH ₃ OH-H ₂ O (78:22), 0,1 mmol.l ⁻¹ EDTA	Hg ²⁺ , C ₂ H ₅ Hg ⁺ , CH ₃ Hg ⁺ , C ₆ H ₅ Hg ⁺	–	UV 254 nm 8,8–10,8 ng	35
RP C18 LiChrospher (150×3 mm, 5 μm)	0,5 mmol.l ⁻¹ 2-sulfanyletanol, 20 % CH ₃ OH, octan amónny (pH 5,5)	Hg ²⁺ , CH ₃ Hg ⁺	sediment, extrakcia	UV 230 nm –	7

Tabuľka I – pokračovanie

Stacionárna fáza	Mobilná fáza	Stanovované formy	Matrica a úprava vzorky	Detekcia a medza stanovenia	Lit.
PLRP-S polystyrén-DVB (150×4,6 mm, 5 µm)	CH ₃ OH-ACN-H ₂ O (59:39:0,5), 50 µmol.l ⁻¹ NaDDC	Hg ²⁺ , CH ₃ Hg ⁺	–	UV 254 nm 3–20 ng	14
RP C18 Spherisorb (Tracer) (150×4,6 mm, 5 µm)	CH ₃ OH-H ₂ O (75:25), 0,05 mol.l ⁻¹ KNO ₃ resp. 0,02 mol.l ⁻¹ KNO ₃	Hg ²⁺ , C ₂ H ₅ Hg ⁺ , CH ₃ Hg ⁺ , C ₆ H ₅ Hg ⁺	prírodná voda	amperometrická resp. coulometrická 0,16–2,8 ng	34
RP C18 Nova-pak (150×3,9 mm, 4 µm) resp. RP C18 Spherisorb ODS-2 (150×4,6 mm, 3 µm)	CH ₃ OH-H ₂ O (82:12), 50–100 mmol.l ⁻¹ EDTA, 20 mmol.l ⁻¹ DDC resp. CH ₃ OH- -ACN-H ₂ O (71:8:21), 100 mmol.l ⁻¹ EDTA	Hg ²⁺ , C ₂ H ₅ Hg ⁺ , CH ₃ Hg ⁺ , C ₆ H ₅ Hg ⁺	–	UV 254 nm 0,15–0,5 ng	37
RP C18 LiChrosper 100 (250×4 mm, 5 µm)	ACN:H ₂ O (58:42), 0,5 mmol.l ⁻¹ APDC, pH 5,5 (H ₃ COOH, NaOH)	Hg ²⁺ , C ₂ H ₅ Hg ⁺ , CH ₃ Hg ⁺ , C ₆ H ₅ Hg ⁺	voda a odpadová voda on-line pre- koncentrácia (LichroCART 100 RP-100) ryby a huby, extrakcia (tiemočovinou)	CV AAS 0,15–5 ng.l ⁻¹	39 38
RP C18 Hypersil-ODS (80×4,6 mm, 3 µm)	ACN-H ₂ O (65:35), 0,5 mmol.l ⁻¹ NaPDC, pH 5–6,5 (octan amónny)	Hg ²⁺ , CH ₃ Hg ⁺	vlasý	CV AAS (HPLC-UV- -PCO-CVAAS) 4 ng.kg ⁻¹	40
RP C18 Chromosphere- -ODS (30×4 mm, 5 µm)		Hg ²⁺ , C ₂ H ₅ Hg ⁺ CH ₃ Hg ⁺ , C ₆ H ₅ Hg ⁺	–	CV AAS 80 pg	41
RP C18 Hypersil-ODS (80×4,6 mm, 3 µm)	ACN-H ₂ O (65:35), 0,5 mmol.l ⁻¹ NaPDC, pH 5–6,5 (octan amónny)	Hg ²⁺ , C ₂ H ₅ OC ₂ H ₄ Hg ⁺ , C ₆ H ₅ Hg ⁺ , C ₂ H ₅ Hg ⁺ , CH ₃ OC ₂ H ₄ Hg ⁺ , CH ₃ Hg ⁺	prírodná voda on-line prekoncentrácia (RP C18 Hypersil ODS)	CV AAS 5 ng.l ⁻¹	42
RP C18 Hypersil-ODS (60×4,6 mm, 3 µm)		CH ₃ Hg ⁺	sedimenty a rybie tkanivo, destilácia	CV AAS 40 pg	43
RP C18 Hypersil-ODS (80×4,6 mm, 3 µm)		Hg ²⁺ , C ₂ H ₅ Hg ⁺ CH ₃ Hg ⁺ , C ₆ H ₅ Hg ⁺ mersalylic acid	sedimenty a biologické tkanivá, destilácia	ICP-MS (HPLC- -HPF/HHPN- -ICP-MS) 10–20 pg	44
RP C18 Spherisorb ODS-2 (150×4,6 mm, 3 µm)	THF-CH ₃ OH (2:1), 50 mmol.l ⁻¹ EDTA, 0,05 mol.l ⁻¹ octánový pufor (pH 4)	Hg ²⁺ , C ₂ H ₅ Hg ⁺ CH ₃ Hg ⁺	odpadová voda, kečup, ľudský moč	UV-VIS 475 nm 0,3–0,4 ng	47
RP C18 µBondapak (300×3,9 mm, 10 µm) a RP C18 Nucleosil (150×4,6 mm, 5 µm)	CH ₃ OH-0,05 mol.l ⁻¹ NaCl (70:30) resp. CH ₃ OH-ACN-5 mmol.l ⁻¹ KH ₂ PO ₄ (1/4/5)	C ₆ H ₅ HgCl, (C ₆ H ₅) ₂ Hg, CH ₃ HgCl	–	UV 254 nm –	48
RP C18 Brownlee Labs. (200×4,6 mm, 5 µm)	CH ₃ OH-octan amónny (80:20), 0,1 mol.l ⁻¹ MBT (pH 6,2)	Hg ²⁺ , C ₂ H ₅ Hg ⁺ , CH ₃ Hg ⁺ , C ₆ H ₅ Hg ⁺	voda, čistiaci roztok kontaktných šošoviek	UV 285 nm 0,3–0,5 ng	49
RP C18 Hypersil ODS 100-5 (250×4 mm, 5 µm)	CH ₃ OH-octan amónny (40:60), 2,2 mmol.l ⁻¹ metyl tioglykolát (pH 5,8)	C ₂ H ₅ Hg ⁺ , CH ₃ Hg ⁺	vodná vzorka	UV 235 nm 630–650 ng.l ⁻¹ 19–25 ng	50 51
RP C18 Bishoff ODS-II (125×4,6 mm, 5 µm)	40 mmol.l ⁻¹ cysteín, 0,1 mol.l ⁻¹ kyselina octová (pH 2,9)	Hg ²⁺ , C ₂ H ₅ Hg ⁺ , CH ₃ Hg ⁺	pečeň delfína	CV AAS 200 ng.g ⁻¹	52

Tabuľka I – pokračovanie

Stacionárna fáza	Mobilná fáza	Stanovované formy	Matrica a úprava vzorky	Detekcia a medza stanovenia	Lit.
RP C18 Separon SGX (150×3 mm, 5 µm)	40 % ACN, 0,4 mmol.l ⁻¹ CDTA, pH 2 (H ₂ SO ₄)	Hg ²⁺ , C ₆ H ₅ Hg ⁺ , CH ₃ Hg ⁺	–	UV-VIS 500 nm (pok. derivatizácia, ditizón, CTMAB 1–5,1 ng	55
	20 % ACN, 0,2 mmol.l ⁻¹ CDTA, pH 2 (H ₂ SO ₄)	Hg ²⁺ , C ₆ H ₅ Hg ⁺ , CH ₃ Hg ⁺	–	TMA (off-line spojenie s HPLC) 0,3 ng	56
Mikrokolóna STR-ODS-H (125×0,51 mm, 5 µm)			odpadová voda	0,1 ng	53
ODS LS-40 (Toyosoda) (300×16 µm)	ACN-H ₂ O-(CH ₃) ₂ SO (dimetyl sulfoxid) (70:30:1) resp. 0,2 mol.l ⁻¹ cysteín, 0,02 mol.l ⁻¹ kyselina octová (pH 2,2)	CH ₃ HgSH, C ₂ H ₅ HgSH, CH ₃ (CH ₂) ₂ HgSH, resp. CH ₃ (CH ₂) ₃ HgSH, resp. Hg ²⁺ , C ₂ H ₅ Hg ⁺ , CH ₃ Hg ⁺	–	CV AAS 20 ng	54
RP C18 Lichrospher (250×4 mm, 5 µm)	ACN-0,1 mol.l ⁻¹ Kbr (gradient 35:65–100:0)	HgCl ₂ , (C ₆ H ₅) ₂ Hg, C ₆ H ₅ HgOAc, CH ₃ HgCl	kondenzovaný plyn	CV AAS 10 ng.ml ⁻¹	71
<i>Chromatografická separácia iónových párov</i>					
RP C18 IBM (250×4 mm, 5 µm)	CH ₃ OH-H ₂ O (60:40), 0,15 mol.l ⁻¹ NaCl, 0,01 mol.l ⁻¹ TBAB	Hg ²⁺ , C ₂ H ₅ Hg ⁺ , CH ₃ Hg ⁺ , C ₆ H ₅ Hg ⁺ , C ₆ H ₅ CH ₂ Hg ⁺	riečna voda	UV 254 nm resp. DCP-AES 0,2–8 ng resp. 175–255 ng	58
RP C18 Chemcosorb ODS (100×3 mm, 5 µm)	0,1 mol.l ⁻¹ HClO ₄ ⁻ , 1 mmol.l ⁻¹ KCl, 1 % CH ₃ CN	Hg ²⁺ , C ₂ H ₅ Hg ⁺ , CH ₃ Hg ⁺	čistiace roztoky kontaktných šošoviek	PAD 1,2–1,8 mg.l ⁻¹	59
RP C18 Spherisorb ODS-2 (150×4,6 mm, 5 µm)	0,5 % L-cysteín (pH 5)	Hg ²⁺ , C ₂ H ₅ Hg ⁺ , CH ₃ Hg ⁺	morská voda 0,03–0,11 ng.ml ⁻¹	ICP-MS	61
RP C18 PEEK (50×1,6 mm)	ACN-H ₂ O (20:80), 5 mmol.l ⁻¹ amónium pentánsulfonát (pH 3,4)	Hg ²⁺ , C ₂ H ₅ Hg ⁺ , CH ₃ Hg ⁺ , C ₆ H ₅ Hg ⁺	moč	ICP-MS 7 pg	60
<i>Ionexová chromatografia</i>					
Separon Six (silikagél) CGC (150×3 mm, 5 mm)	0,1 mmol.l ⁻¹ NaBr, 5 % CH ₃ OH, pH 2 (H ₂ SO ₄)	Hg ²⁺ , CH ₃ Hg ⁺ , C ₆ H ₅ Hg ⁺	–	UV-VIS, pokolónová (pok.) derivatizácia ditizón a CTMAHS 1,1–6,2 ng	64
HPIC-CS-5 (Dionex)	1 mmol.l ⁻¹ kyselina octová, 1 mmol.l ⁻¹ NaClO ₄ , 5 mmol.l ⁻¹ cysteín, pH 4,4 (NaOH)	Hg ²⁺ , C ₂ H ₅ Hg ⁺ , CH ₃ Hg ⁺	odpadová voda on-line prekoncentrácia (LiChroCART RP C18 a HPIC CG-5 Dionex)	CV AAS 2–10 ng	63
<i>Micelárna kvapalinová chromatografia</i>					
RP C18 Spherisorb ODS 2 (250×4,6 mm, 10 µm) modifikovaná 1 mmol.l ⁻¹ DDAB (tvorba vezikúl)	5 % ACN, 0,2 mmol.l ⁻¹ DDAB, 0,005 % 2-sulfanyletanol, 10 mmol.l ⁻¹ octan amónny (pH 5)	Hg ²⁺ , CH ₃ Hg ⁺	morská voda, ľudská moč, odpadová a morská voda, ľudská moč prekoncentrácia (Sep-Pack RP C18, 2-sulfanyletanol)	CV AAS 0,1–0,2 mg.l ⁻¹ MIP-AES 0,15–0,35 ng.ml ⁻¹	66 67
RP C18 Separon CGC (30×3 mm, 5 mm)	0,05 mol.l ⁻¹ CTMABr, 1 mM-DCTA 4 % 2-propanol, pH 2 (H ₂ SO ₄)	Hg ²⁺ , CH ₃ Hg ⁺ , C ₆ H ₅ Hg ⁺	–	UV-VIS 500 nm (pok. derivatizácia ditizónom) 1–3 ng	68

fázou, boli riešené tým, že rôzne chemické zlúčeniny ortuti boli separované ako stabilné neutrálne komplexy („charge-neutralization reversed-phase chromatography“)¹⁷.

Ako jedno z prvých komplexotvorných činidiel bol použitý 2-sulfanyletanol¹⁸, ktorý bol pridaný do mobilnej fázy, kde reagoval za vzniku neutrálnych komplexov s organickými zlúčeninami ortuti počas elúcie¹⁹. Ako detekčnú metódu použili elektrochemickú detekciu – diferenčne pulznú voltampometriu (DPV) resp. atómovú absorpčnú spektrometriu^{8,9} (AAS), detektor s mikrovlne indukovanou plazmou²⁰ (MIP), amperometrickú detekciu²¹, fotometrickú detekciu v ultrafialovej oblasti (UV) pri 230 nm (cit.^{7,22}). Nízke medze stanovenia (5–7 ng) analytov v reálnych vzorkách životného prostredia, ako prírodná voda, biologické vzorky²³ a sedimenty^{10,11,24} boli dosiahnuté použitím atómového fluorescečného spektrometrického detektora (AFS) alebo spojením RP HPLC s atómovou absorpčnou spektrometriou s atomizáciou v grafitovej kvete¹⁸ (GF AAS) a atómovou emisnou spektrometriou s indukčne viazanou plazmou²⁵ (ICP-AES).

V spojení RP HPLC s hmotnostnou spektrometriou s indukčne viazanou plazmou (ICP-MS) vyšší obsah organických zlúčenín v mobilnej fáze spôsobuje problémy, ako klesanie citlivosti detektora²⁶ a preto pri izokratckej elúcii sa v mobilnej fáze používa najviac 5 až 30%-ný obsah organického modifikátora^{12,13}. V práci²⁷ použili na zníženie medze stanovenia analytov ICP-MS detekciu v kombinácii s off-line prekoncentráciou zlúčenín ortuti s ditiokarbamátom na Dionex predkolóne. Medza stanovenia pre CH₃HgCl bola 16 ng.l⁻¹ a pre HgCl₂ 17 ng.l⁻¹, čo predstavovalo približne 50 násobný prekoncentračný faktor.

Ditiokarbamáty sú často používanými komplexotvornými činidlami, ktoré vytvárajú stabilné neutrálne komplexy s iónmi kovov, naviazanými na ich tiolovú skupinu. Tvorba komplexov dovoľuje separovať, pri vhodných separačných podmienkach, od seba niektoré kationy kovov²⁸⁻³¹ ako Co(II), Ni(II), Cu(II), Co(II a III), Cd(II), Cr(III), Pb(II), Bi(III), Tl(III), Pt(II), Fe(III), Pa(II) a Hg(II). Štúdie stanovenia zlúčenín ortuti ukazujú, že tvorba ditiokarbamátových komplexov je väčšinou uskutočnená mimo kolóny, tieto sú extrahované do chloroformu a rozpustené v metanole resp. acetonitrile a následne separované RP HPLC metódou. Ligand s nízkou koncentráciou musí byť tiež prítomný v mobilnej fáze, aby sa zabránilo disociácii komplexu^{32,33}. Mobilná fáza bola vhodne zvolená podľa typu detekčnej metódy. Pre UV detekciu a elektrochemickú detekciu to bola zmes metanol–voda³⁴⁻³⁷ a pre atómovú absorpčnú spektrometriu studených pár (CV AAS) a ICP-MS zmes acetonitril–voda^{38-44,71}. Tvorba ditiokarbamátových komplexov s organickými zlúčeninami ortuti (používanými vo farmaceutickom priemysle ako baktericídne látky) bola využitá aj v prácach Parkina^{36,45,46}. Separácie ditiokarbamátových komplexov boli robené na oktadecylsilikagelových analytických kolónach (RP C18) s elučným poradím podľa klesajúcej polarizácie CH₃Hg⁺, C₂H₅Hg⁺, C₆H₅Hg⁺ ... atď. a ako posledný eluoval komplex Hg²⁺ (cit.^{34,38,39}). Spojenie HPLC s pokolónovou fotochemickou (UV) oxidáciou a CV AAS (UV-PCO-CVAAS) (cit.^{40-43,69}) resp. s rozprašovaním za vysokého tlaku a ICP-MS (HPF/HHPN-ICP-MS) (cit.⁴⁴) ako vysoko citlivými detekčnými metódami, využil Falter⁷⁹ a kol. na stanovenie zlúčenín ortuti v rôznych vzorkách (vlasý, prírodná voda, sedimenty a biologické tkanivá). Najnižšiu medzu stanovenia 0,05 ng.l⁻¹

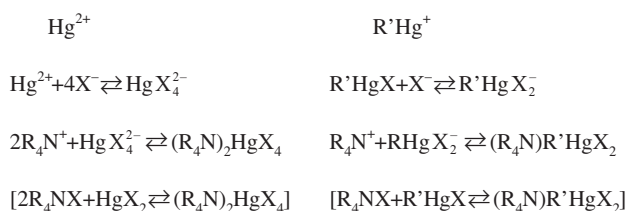
autori dosiahli ak použili on-line prekoncentráciu na RP C18 Hypersil ODS kolóne.

Z ďalších komplexotvorných činidiel vytvárajúcich komplexy so zlúčeninami ortuti a ich stanovení RP HPLC metódou, boli použité: komplexy ditizónu⁴⁷, 6-sulfanylpurinu⁴⁸, 2-sulfanylbentiazolu⁴⁹, metyl sulfanylglykolátu^{50,51}, cysteínu^{52,54} a CDTA (cit.^{55,56}).

2.2. Chromatografická separácia iónových párov

Chromatografická separácia iónových párov na reverzných fázach, môže tiež riešiť problémy separácie iónových látok. Separácia kationov je dosiahnutá ich komplexáciou s vhodným ligandom pridaným do mobilnej fázy a iónovým párovaním negatívne nabitého komplexu s ión-párovacím činidlom alebo výmenou ich katiónu s protiíonom ión-párovacieho činidla³².

Rovnováhy uplatňujúce sa pri separácii Hg(II) halogenidov a halogénkomplexov v prítomnosti protiónu (tetra-n-butylamónium halogenidu):



Zvyšovanie pH hodnoty mobilnej fázy znižuje retenčné faktory komplexov kovov. To naznačuje, že elektrostatický efekt medzi stacionárnou a mobilnou fázou má dôležitý vplyv na retenciu komplexov kovov⁵⁷. Ho a Uden⁵⁸, sa zaoberali vplyvom koncentrácie konkurenčného aniónu Cl⁻, koncentrácie organického modifikátora (metanol) a koncentrácie ión-párovacieho činidla tetrabutylamónium bromidu (TBABr) v mobilnej fáze na stanovenie ortuti a jej zlúčenín. Typické pre chromatografickú separáciu iónových párov bolo zvyšovanie retenčných faktorov analytov so zvyšovaním koncentrácie ión-párovacieho činidla TBABr. Prídavok organického modifikátora do mobilnej fázy, tiež zlepšuje tvar píkov a zvyšuje účinnosť, čo bolo využité v práci⁵⁹ prídavkom 1% acetonitrilu do mobilnej fázy. V práci⁶⁰ autori úspešne stanovili zlúčeniny ortuti ako štandardného prídavku do vzorky moča ICP-MS detekciu. Autori v práci⁶¹ využili pre separáciu 0,5 % roztok cysteínu (pH 5,0) ako ión-párovacieho činidla. Vynechanie organického rozpúšťadla v mobilnej fáze malo pozitívny vplyv na ICP-MS detekciu.

2.3. Ionexová chromatografia

V ionexovej chromatografii našla uplatnenie pri špeciácii ortuti⁶³ hlavne anexová chromatografia cysteínových komplexov, pravdepodobne kvôli vysokým hodnotám distribučných konštánt Hg(II) na katexoch pri obvyklých zloženiach mobilných fáz, čo si vyžiadalo používanie agresívnych mobilných fáz⁶². Porovnaním rôznych typov stacionárných fáz na simultánne stanovenie zlúčenín ortuti s pokolónovou derivatizáciou ditizónom v micelárnom prostredí a následnou UV-VIS detekciou, sa zaoberali autori v práci⁶⁴. Z testovaných sorbentov

Separon SIX, Separon SGX-NH₂ a Separon HEMA-S, bol najvhodnejší na separáciu Hg²⁺, CH₃Hg⁺ a C₆H₅Hg⁺ Separon SIX.

2.4. Micelárna kvapalinová chromatografia

Hlavný rozdiel micelárnej kvapalinovej chromatografie (MLC) a klasickej RP HPLC je daný homogenitou hydroorganického roztoku a mikroheterogenitou micelárnych roztokov nad kritickou micelárnou koncentráciou, ako aj z toho vyplývajúcim uplatnením sekundárnej rovnováhy v micelárnych mobilných fázach⁶⁵.

Vlastnosti micelárnych systémov boli využité v prácach^{66,67} kde autori modifikovali povrch stacionárnej fázy pred separáciou roztokom didodecyldimetylamónium bromidu (DDAB). Prídavok DDAB do mobilnej fázy (acetonitril, 2-sulfanyletanol) s 0,2 mmol.l⁻¹ koncentráciou spôsobil tvorbu vezikúl, ktorých prítomnosť umožňovala pri separácii realizovať nielen hydrofóbné interakcie, ale tiež elektrostatické interakcie s ionizovanými analytmi. Použitie surfaktantu tiež zlepšilo detekciu ortuti CV AAS a CV-MIP-AES.

Interakcie medzi analytom, stacionárnou a micelárnou fázou charakteristické pre MLC boli využité v práci⁶⁸ pri špeciácii ortuti ako bromokomplexov na krátkej RP C18 kolóne (30×3 mm). Ako micelárna mobilná fáza bol použitý kationický surfaktant cetyltrimetylamónium bromid (CTMABr) s prídavkom kyseliny 1,2-cyklohexándiaminotetraoctovej (CDTA), 2-propanolu a pH upraveným na hodnotu 2,0 kyselinou sírovou (H₂SO₄). Elučné poradie bolo CH₃Hg⁺, C₆H₅Hg⁺ a Hg²⁺. Komplex [HgBr₄]²⁻ sa separoval iónovýmenným, zatiaľ čo CH₃HgBr a C₆H₅HgBr hydrofóbnym mechanizmom. Na detekciu bol využitý systém s pokolónovou derivatizáciou ditizónom a následnou spektrofotometrickou detekciou komplexov ditizónu pri 500 nm.

3. Záver

Na špeciáciu ortuti HPLC metódami sa zlúčeniny ortuti najčastejšie komplexujú pred alebo počas separácie 2-sulfanyletanolom resp. ditiokarbamátmi ako komplexotvornými činidlami. Uplatnenie tiež našli sekundárne rovnováhy pri separácii zlúčenín ortuti iónovým párovaním a MLC, pridaním vhodného ión – párovacieho činidla resp. surfaktantu. Najčastejšie používanými detekčnými technikami sú techniky molekulevej spektrometrie a atómovej spektrometrie. Výrazný posuv je vidieť v uplatňovaní ICP-MS a elektrochemických metód.

Hlavnými problémami spojenými s uplatňovaním HPLC špeciácie pri analýze komplexných vzoriek (environmentálne, biologické) ovplyvňujúcimi jednak separačný proces a tiež detekčné parametre sú:

- relatívne vysoké požadované koncentrácie ortuti v chemikáliách používaných pre prípravu mobilných fáz, ako aj roztokov pre izoláciu ortuti a organoortuťnatých zlúčenín z komplexných matric⁷²,
- špeciácia ortuti viazanej v labilných komplexoch,
- nekontrolovaná sorpcia v zložitých analytických zariadeniach (HPLC – ICP-MS),
- izolácia analytov bez porušenia rovnováh vo vzorke alebo s akceptovateľným porušením.

Problematika analýzy ťažkých kovov v komplexných mat-

riciach (napr.^{73,74}), ako aj operačne definovanej špeciácie, využitím mnohokrokových extrakčných postupov (napr.⁷⁵) a jej kombinácie s identifikáciou a kvantifikáciou individuálnych špecií rôznymi kombinovanými technikami, je stále aktuálnou a prítlačivou pre rôzne orientované skupiny analytických chemikov⁷⁶⁻⁷⁸.

Zoznam použitých skratiek a symbolov

CTMAHS	cetyltrimetylamóniumhydrogensulfát
DC	ditiokarbamátový komplex
DCP	plazma budená jednosmerným prúdom
DDC	dietylénditiokarbamátový komplex
EDTA	kyselina etyléndiaminotetraoctová
MBT	sulfanylbenziazol
MIP-AES	atómová emisná spektrometria s mikrovlnne indukovanou plazmou
PAD	pulzná amperometrická detekcia
PDC	pyrolidinditiokarbamátový komplex
TMA	jednouúčelový prístroj na stanovenie ortuti

Názvy organických zlúčenín ortuti prebratých z anglicky písaných literárnych zdrojov nie sú ešte jasne definované. V slovenskej názvoslovnej praxi organokovových zlúčenín sa odporúča používať namiesto ortuť-hydrargyrium⁷⁹, napr. methylmercury = metylhydrargyrium. Vzhľadom na ojedielnosť používania spomenutého názvoslovia v analytickej chémii a tiež vyhnutiu sa zaužívaného názvoslovia (metylortuť, fenylortuť a pod.), boli v nasledujúcej práci používané sumárne alebo pôvodné názvy prebraté z literatúry.

Táto práca vznikla za finančnej podpory VEGA MŠ a SAV v rámci projektov č. 1/4198/97, č. 1/6222/99 a USA – Slovak Science and Technology Program Award No: 007–95.

LITERATÚRA

1. Ure A. M., v knihe: *Heavy Metals in Soils* (Alloway B. J., ed.), str. 40. Blackie, Glasgow 1990.
2. Ure A. M., Davidson C. M., v knihe: *Chemical Speciation in the Environment* (Ure A. M., Davidson C. M., ed.), str. 1. Blackie, London 1990.
3. Florence T. M.: *Talanta* 29, 354 (1982).
4. Wilken R. D., Hintelmann H., v knihe: *Metal Speciation in the Environment* (Broekaert J. A. C., Gucer S., Adams F., ed.), str. 23. Springer-Verlag, Berlin 1990.
5. Westö G.: *Acta Chem. Scand.* 20, 2131 (1966).
6. Westö G.: *Acta Chem. Scand.* 21, 1790 (1967).
7. Wilken R.-D., Hintelmann H.: *Water Air Soil Pollut.* 56, 427 (1991).
8. Holak W.: *Analyst* 107, 1457 (1982).
9. Holak W.: *J. Assoc. Off. Anal. Chem.* 72, 926 (1989).
10. Hempel M., Chau Y. K., Dutka B. J., McInnis R., Kwan K. K., Liu D.: *Analyst* 120, 721 (1995).
11. Hempel M., Wilken R.-D., Miess R., Hertwich J., Beyer K.: *Water Air Soil Pollut.* 80, 1089 (1995).
12. Bushee D. S.: *Analyst* 113, 1167 (1988).
13. Huang Ch.-W., Jiang S.-J.: *J. Anal. At. Spectrom.* 8, 681 (1993).
14. Langseth W.: *J. Chromatogr.* 438, 414 (1988).
15. Funasaka W., Hanai T., Fujimura K.: *J. Chromatogr. Sci.* 12, 517 (1974).

16. Churáček J., Jandera P.: *Úvod do vysokoučinné kapalinové chromatografie*. SNTL, Praha 1984.
17. MacCreham W. A., Durst R. A., Bellama J. M.: *Anal. Lett.* 10, 1175 (1977).
18. Brinckman F. E., Blair W. R., Jewett K. L., Iverson W. P.: *J. Chromatogr. Sci.* 15, 493 (1977).
19. MacCrehan W. A., Durst R. A.: *Anal. Chem.* 50, 2108 (1978).
20. Kollotzek D., Oechsle D., Kaiser G., Tschöpel P., Tölg G.: *Fresenius' J. Anal. Chem.* 318, 485 (1984).
21. Evans O., McKee G. D.: *Analyst* 112, 983 (1987).
22. Hempel M., Hintelmann H., Wilken R.-D.: *Analyst* 117, 669 (1992).
23. Yoshino M., Tanaka H., Okamoto K.: *Bunseki Kagaku* 44, 691 (1995).
24. Hintelmann H., Hempel M., Wilken R.-D.: *Environ. Sci. Technol.* 29, 1845 (1995).
25. Krull I. S., Bushee D. S., Schleicher R. G., Smith Jr. S. B.: *Analyst* 111, 345 (1986).
26. Boom A. W., Browner R. F.: *Anal. Chem.* 54, 1402 (1982).
27. Bloxham M. J., Gachanja A., Hill S. J., Worsfold P. J.: *J. Anal. At. Spectrom.* 11, 145 (1996).
28. Steenkamp P. A., Coetzee P. P.: *Fresenius' J. Anal. Chem.* 346, 1017 (1993).
29. King J. N., Fritz J. S.: *Anal. Chem.* 59, 703 (1987).
30. Svoboda L., Prokeš P.: *Collect. Czech. Chem. Commun.* 57, 1843 (1992).
31. Gill M. C., Shih Y. T., Carr P. W.: *Talanta* 36, 293 (1989).
32. Sarzanini C., Mentasti E.: *J. Chromatogr. A* 789, 301 (1997).
33. Dilli S., Haddad P. R., Htoon A. K.: *J. Chromatogr.* 500, 313 (1990).
34. Pilar da Silva M., Procopio J. R., Hernández L.: *J. Chromatogr. A* 761, 139 (1997).
35. Inoue S., Hoshi S., Mathubara M.: *Talanta* 32, 44 (1985).
36. Parkin J. E.: *J. Chromatogr.* 407, 389 (1987).
37. Langseth W.: *Fresenius' J. Anal. Chem.* 325, 267 (1986).
38. Aceto M., Foglizzo A. M., Mentasti E., Sacchero G., Sarzanini C.: *J. Environ. Anal. Chem.* 60, 1 (1995).
39. Sarzanini C., Sacchero G., Aceto M., Abollino O., Mentasti E.: *J. Chromatogr.* 626, 151 (1992).
40. Falter R., Schöler H. F.: *Fresenius' J. Anal. Chem.* 354, 492 (1996).
41. Falter R., Schöler H. F.: *J. Chromatogr. A* 675, 253 (1994).
42. Falter R., Schöler H. F.: *Fresenius' J. Anal. Chem.* 353, 34 (1995).
43. Eiden R., Falter R., Augustin-Castro B., Schöler H. F.: *Fresenius' J. Anal. Chem.* 357, 439 (1997).
44. Falter R., Ilgen.: *Fresenius' J. Anal. Chem.* 358, 401 (1997).
45. Parkin J. E.: *J. Chromatogr.* 472, 401 (1989).
46. Parkin J. E.: *J. Chromatogr.* 542, 137 (1991).
47. Langseth W.: *Anal. Chim. Acta* 185, 249 (1986).
48. Touabet A., Guermouche M. H.: *J. Chim. Phys.* 88, 487 (1991).
49. Wang Y.-Ch., Whang Ch.-W.: *J. Chromatogr.* 628, 133 (1993).
50. Cammann K., Robecke M., Bettmer J.: *Fresenius' J. Anal. Chem.* 350, 30 (1994).
51. Bettmer J., Cammann K., Robecke M.: *J. Chromatogr. A* 654, 177 (1993).
52. Palmisano F., Zamboni P. G., Cardellicchio N.: *Fresenius' J. Anal. Chem.* 346, 648 (1993).
53. Munaf E., Haraguchi H., Ishii D., Takeuchi T., Goto M.: *Anal. Chim. Acta* 235, 399 (1990).
54. Fujita M., Takabatake E.: *Anal. Chem.* 55, 454 (1983).
55. Hutta M., Rippa S., Kandrác J., Chalanyová M.: *J. Radioanal. Nucl. Chem.* 208, 417 (1996).
56. Hutta M., Moskářová M., Žemberyová M., Foltin M.: *J. Radioanal. Nucl. Chem.* 208, 403 (1996).
57. Padarauskas A., Schwedt G.: *Fresenius' J. Anal. Chem.* 351, 708 (1995).
58. Ho Y.-S., Uden P. C.: *J. Chromatogr. A* 688, 107 (1994).
59. Hsi T.-S., Tsai J.-S.: *J. Chin. Chem. Soc.* 41, 315 (1994).
60. Shum S. C. K., Pang H., Houk R. S.: *Anal. Chem.* 64, 2444 (1992).
61. Wan Ch.-Ch., Chen Ch.-S., Jiang S.-J.: *J. Anal. At. Spectrom.* 12, 683 (1997).
62. Strelow F. W. E.: *Talanta* 38, 923 (1991).
63. Sarzanini C., Sacchero G., Aceto M., Abollino O., Mentasti E.: *Anal. Chim. Acta* 284, 661 (1994).
64. Foltin M., Megová S., Procháčková T., Štekláč M.: *J. Radioanal. Nucl. Chem.* 208, 295 (1996).
65. Armstrong D. W., Terrill R. Q.: *Anal. Chem.* 53, 1662 (1981).
66. Aizpún B., Fernández M. L., Blanco E., Sanz-Medel A.: *J. Anal. At. Spectrom.* 9, 1279 (1994).
67. Costa-Fernández J. M., Lunzer F., Pereiro-García R., Sanz-Medel A., Bordel-Gracia.: *J. Anal. At. Spectrom.* 10, 1019 (1995).
68. Hutta M., Megová S., Halko R.: *J. Radioanal. Nucl. Chem.* 228, 159 (1998).
69. Falter R., Schöler H. F.: *Fresenius' J. Anal. Chem.* 348, 253 (1994).
70. Fabbri D., Trombini C.: *Chromatographia* 39, 246 (1994).
71. Schickling C., Broekaert J. A. C.: *Appl. Organomet. Chem.* 9, 29 (1995).
72. Procháčková T., Góra R., Kandrác J., Hutta M.: *J. Radioanal. Nucl. Chem.* 229, 61 (1998).
73. Koplík R., Čurdová E., Mestek O.: *Chem. Listy* 91, 38 (1997).
74. Procháčková T., Foltin M.: *Chem. Listy* 89, 770 (1995).
75. Zavadská M., Žemberyová M.: *Chem. Listy* 93, 91 (1999).
76. Puk R., Weber J. H.: *Appl. Organomet. Chem.* 8, 293 (1994).
77. Baeyens W.: *Trends Anal. Chem.* 11, 245 (1992).
78. Horvat M., v kniže: *Global and Regional Mercury Cycles: Sources, Fluxes and Mobs Bolonces* (Baeyens W., ed.), str. 1. Kluwer Academic Publishers, Netherlands 1996.
79. Heger J., Devínsky F.: *Názvoslovie organických zlúčenín*. Univerzita Komenského, Bratislava 1997.

R. Halko and M. Hutta (*Department of Analytical Chemistry, Faculty of Science, Comenius University, Bratislava, Slovak Republic*): **Speciation and Determination of Mercurials by High-Performance Liquid Chromatography Methods**

Applications of HPLC to speciation and determination of mercury compounds in biological, clinical and environmental matrices are reviewed. Almost all modes of HPLC (reverse-phase, ion-pair, ion exchange, micellar) used so far for separation of mercury compounds of interest (Hg^{2+} , CH_3Hg^+ , $(\text{CH}_3)_2\text{Hg}$, $\text{C}_2\text{H}_5\text{Hg}^+$, $n\text{-C}_3\text{H}_7\text{Hg}^+$, $\text{C}_6\text{H}_5\text{Hg}^+$, etc.) are discussed. Merits of various detection techniques used for mercury and/or organomercurials determination in combination with HPLC and brief description of isolation techniques are presented.